

АНИЗОТРОПИЯ ЭЛЕКТРИЧЕСКОГО СОПРОТИВЛЕНИЯ  
В МОНОКРИСТАЛЛАХ  
ВЫСОКОТЕМПЕРАТУРНОГО СВЕРХПРОВОДНИКА  $\text{YBa}_2\text{Cu}_3\text{O}_x$

И.Н. Макаренко, Д.В. Никифоров, А.Б. Быков,  
О.К. Мельников, С.М. Стишов

Проведены измерения удельного электрического сопротивления  $\rho_{\parallel}$  и  $\rho_{\perp}$  монокристаллов  $\text{YBa}_2\text{Cu}_3\text{O}_x$  в направлениях  $\parallel$  и  $\perp$  базисной плоскости элементарной ячейки. Исследованы образцы двух серий кристаллов, имеющих орторомбическую ( $T_k \sim 93$  К) и тетрагональную ( $T_k \sim 80$  К) структуры. Показано, что поперечное сопротивление  $\rho_{\perp}$  и анизотропия  $\rho_{\perp}/\rho_{\parallel}$  возрастают с приближением температуры к  $T_k$ .

В настоящей статье сообщается об исследовании анизотропии электропроводности монокристаллов номинального состава  $\text{YBa}_2\text{Cu}_3\text{O}_x$ . Исследовались две серии образцов (*A* и *B*),

выращенных в платиновых тиглях из нестехиометрического расплава при температуре  $900 \div 1000^\circ\text{C}$  и отожженных в потоке кислорода при температуре  $700^\circ\text{C}$ . Исходные кристаллы представляли собой квадратные пластинки со средними размерами  $5 \times 5 \times 0,03 \text{ mm}^3$ . Некоторые характеристики кристаллов этих серий приведены в табл. 1.

Подчеркнем, что в отличие от кристаллов серии *A* кристаллы серии *B* после отжига в кислороде сохраняли тетрагональную структуру. Возможно, что это связано с дефицитом меди в их составе (см. табл. 1).

В качестве образцов для измерения электрического сопротивления отбирались фрагменты кристаллов правильной формы с зеркально гладкой поверхностью. Низкоомные электрические контакты ( $R < 1 \text{ Ом}$ ) приготавливались вжиганием серебряной пасты в атмосфере кислорода. Измерения проводились четырехзондовым методом на постоянном токе с использованием цифрового вольтметра, обеспечивавшего надежное измерение сигналов на уровне  $0,2 \text{ мкВ}$ . Ток, пропускаемый через образец, имел величину  $0,5 \div 1 \text{ mA}$ . Температура определялась с помощью медь-константановой термопары с точностью  $\sim 0,01 \text{ K}$ .

Таблица 1

| Серия    | Химический состав <sup>1)</sup>  | Симметрия и параметры <sup>2)</sup> элементарной ячейки, <i>A</i> |   | $T_k$ <sup>4)</sup>    |
|----------|--|---|---|------------------------|
|          |  | до отжига   | после отжига  |                        |
| <i>A</i> | $\text{Y}_{0,92}(\text{TR})_{0,03}\text{Ba}_2\text{Cu}_2,95\text{O}_x$ | тетраг.<br>$a = 3,857$<br>$c = 11,828$                            | ромбич. <sup>3)</sup><br>$a = 3,823$<br>$b = 3,879$<br>$c = 11,735$ | $\sim 60$<br>$\sim 93$ |
|          | $\text{Y}_{0,94}(\text{TR})_{0,02}\text{Ba}_2\text{Cu}_2,88\text{O}_x$ | тетраг.<br>$a = 3,865$<br>$c = 11,704$                            | тетраг.<br>$a = 3,868$<br>$c = 11,604$                              |                        |
| <i>B</i> |  |   |   | —<br>60–80             |
|          |  |   |   |                        |

На рис. 1 представлены результаты измерений электрического сопротивления двух образцов серии *A* при температурах, близких к сверхпроводящему переходу. Кривые *I* и *II* получены на одном и том же образце размером  $515 \times 210 \times 18 \text{ мкм}^3$  с использованием конфигурации электродов, представленной на рис. 1а. Зависимость *I* характеризует поведение поперечного (в направлении оси *c* кристалла) электрического сопротивления  $R_\perp$  (1, 2 – токовые зонды, 3, 4 – потенциальные). Кривая *II* качественно отображает температурную зависимость продольного ( $\parallel ab$ ) электросопротивления  $R_\parallel$  (1, 4 – токовые зонды, 2, 3 – потенциальные). Кривая *III* представляет корректную зависимость  $R_\parallel(T)$  для образца размером  $900 \times 130 \times 15 \text{ мкм}^3$ , измеренную по схеме рис. 1б и приведенную к кривой *II* при  $T \geq 200 \text{ K}$ . Как видно из рис. 1, участки резкого изменения электрического сопротивления на кривых *II* и *III* совпадают по температуре, что позволяет использовать для определения анизотропии электрических свойств кристалла кривые *I* и *III*.

Обращаясь к кривой *I*, отметим, что резкому падению сопротивления  $R_\perp$  предшествует острый пик, расположенный при температуре, соответствующей практически полному исчезновению сопротивления  $R_\parallel$ . Объяснение подобного поведения сопротивления  $R_\perp$  заключается, по-видимому, в резком увеличении анизотропии проводимости в области

<sup>1)</sup> Точность определения состава  $\sim 1\%$ ; TR – La, Yb, Nd.

<sup>2)</sup> Точность определения параметров кристаллической решетки  $0,001 \text{ \AA}$ .

<sup>3)</sup> В кристаллах серии *A* наблюдается ярко выраженная двойниковая структура.

<sup>4)</sup>  $T_k$  – температура перехода в сверхпроводящее состояние.

сверхпроводящего перехода. Такое поведение анизотропии проводимости могло бы означать, что возникновение сверхпроводящего или частично сверхпроводящего состояния происходит в первую очередь в параллельном направлении. Из рис. 1 следует, что нечто подобное действительно происходит. Значения температуры, соответствующие наиболее быстрому изменению сопротивлений  $R_{\perp}$  и  $R_{\parallel}$  разделены между собой интервалом  $\sim 0,5$  К. Этот интервал близок к сумме значений  $\Delta T$ , характеризующих ширину сверхпроводящего перехода, найденного формальным образом по  $R_{\parallel}$  и  $R_{\perp}$  (0,1 и 0,4 К, соответственно) на уровне  $(0,1 \div 0,9) R_n$ , где  $R_n$  — сопротивление в нормальной фазе.

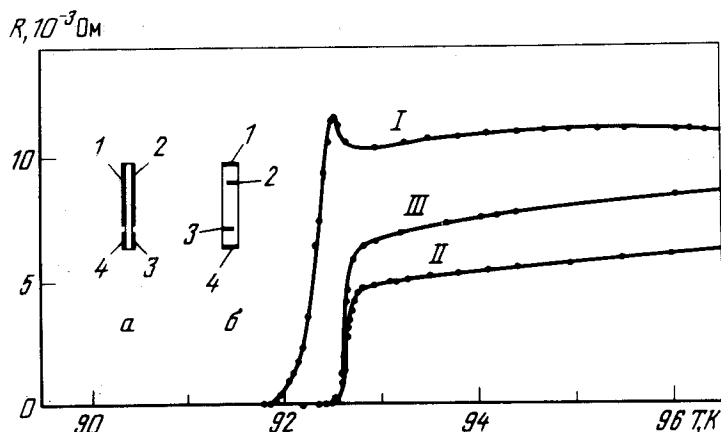


Рис. 1. Изменение электрического сопротивления монокристаллов серии А в окрестности сверхпроводящего перехода:  
а — схема расположения электродов для измерения сопротивления  $R_{\perp}$  (ось с кристаллом находится в плоскости рисунка);  
б — то же для измерения  $R_{\parallel}$ ; I и II — результаты измерения  $R_{\perp}$  и  $R_{\parallel}$  на одном и том же образце по схеме а; III — зависимость  $R_{\parallel}(T)$  для другого образца, измеренная по схеме б и приведенная к кривой II при  $T > 200$  К

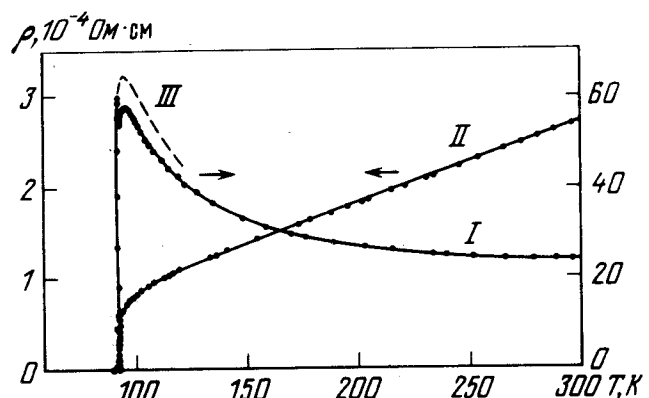


Рис. 2. Удельное сопротивление монокристаллов серии А: I —  $\perp ab$ ; II —  $\parallel ab$ ; III — зависимость  $\rho_{\perp}(T)$  с поправкой на неидеальные условия измерений

На рис. 2 результаты измерений электрического сопротивления образцов серии А представлены в единицах удельного сопротивления (см. также табл. 2). Погрешность значений  $\rho_{\parallel}$  и  $\rho_{\perp}$ , связанная с ошибкой определения геометрического фактора образцов, составляет соответственно  $\pm 18$  и  $\pm 12\%$ .

Обратим внимание на недавно опубликованную работу<sup>1</sup>, в которой проведены аналогичные измерения. Несмотря на заметные отличия в технике эксперимента и качестве исследованных монокристаллов, анизотропия электрического сопротивления, измеренная в этой работе при  $T \sim T_k$ , оказалась очень близка к значению, полученному нами для образцов серии А. Подчеркнем, что зависимость  $\rho_{\parallel}(T)$  для образца серии А в пределах точности измерений совпадает с независимо полученными данными<sup>2</sup>.

| Серия | $T = T_k$         |                    |                                 | $T = 295 \text{ K}$ |                    |                                 | $\partial \rho_{\parallel} / \partial T$ |
|-------|-------------------|--------------------|---------------------------------|---------------------|--------------------|---------------------------------|--|
|       | $\rho_{\perp}$    | $\rho_{\parallel}$ | $\rho_{\perp}/\rho_{\parallel}$ | $\rho_{\perp}$      | $\rho_{\parallel}$ | $\rho_{\perp}/\rho_{\parallel}$ |  |
| A     | $5,99 \cdot 10^3$ | 54                 | 111                             | $2,45 \cdot 10^3$   | 268                | 9,14                            | 0,909                                    |
| B     | $1,01 \cdot 10^5$ | 150                | 673                             | $1,63 \cdot 10^4$   | 698                | 23,4                            | 1,293                                    |

На рис. 3 приведены результаты определения  $\rho_{\perp}$  и  $\rho_{\parallel}$  монокристаллов серии B. Измерения проводились на образцах размером  $360 \times 300 \times 45$  ( $\rho_{\perp}$ ) и  $780 \times 280 \times 39 \text{ мкм}^3$  ( $\rho_{\parallel}$ ). Соответствующие погрешности значений  $\rho$  составляют  $\pm 17$  и  $\pm 24\%$ . Представленные данные показывают (см. рис. 3 и табл. 1, 2), что по своему качеству кристаллы серии B существенно уступают образцам предыдущей серии. Об этом свидетельствует также большая ширина  $\Delta T$  резистивных переходов как в продольном (0,9 K), так и в поперечном (7,4 K) направлениях. Отметим, что на образцах серии B упомянутые выше особенности поведения  $\rho_{\perp}$  вблизи  $T_k$  не наблюдались. По всей видимости, это является следствием их чрезвычайно высокой анизотропии (см. табл. 2).

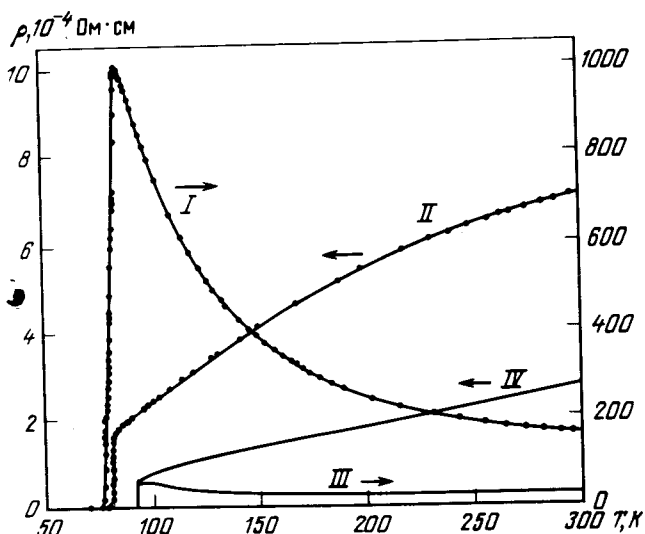


Рис. 3. Удельное электрическое сопротивление монокристаллов серии B; I –  $\perp ab$ ; II –  $\parallel ab$ ; III, IV – то же, что и на рис. 2

Из сравнения данных, полученных на монокристаллах A и B (см. рис. 1 и 2, а также табл. 2), можно заключить, что анизотропия электрического сопротивления  $\rho_{\perp}/\rho_{\parallel}$  и ее температурная зависимость, по-видимому, существенным образом связана с совершенством образцов. Не исключено, что в случае идеального кристалла анизотропия будет иметь несколько иной характер.

В заключение отметим, что обнаруженная зависимость температуры (см. рис. 1) резистивного перехода от направления <sup>6)</sup>, пока не может быть объяснена тривиальным образом. Возможно, что объяснение этому факту может быть дано в терминах сверхпроводящих флуктуаций. Однако в этом случае необходимо допустить, что наблюдаемый резистивный переход в соединениях типа  $\text{YBa}_2\text{Cu}_3\text{O}_x$  является всего лишь флуктуационным предвестником полного исчезновения электрического сопротивления.

<sup>5)</sup>  $\rho$  – мкОм · см;  $\partial \rho / \partial T$  – мкОм · см/град.

<sup>6)</sup> Естественно, что это не означает соответствующего различия в температурах полного обращения сопротивления в нуль. Ограниченная точность измерений не позволяет убедиться в этом непосредственно.

Характер температурной зависимости магнитного момента и специфическое влияние магнитного поля на резистивный переход в монокристаллах  $\text{YBa}_2\text{Cu}_3\text{O}_x$ <sup>2</sup>, хотя и благоприятствует этой точке зрения, но не исключает эффектов, связанных с неоднородностью образцов.

Авторы выражают глубокую благодарность И.В. Александрову за определение параметров элементарной ячейки и Г.И. Шманенковой, выполнившей анализы химического состава исследованных образцов.

#### Литература

1. *Tozer S.W., Kleinsasser A.W. et al. Phys. Rev. Lett., 1987, 59, 1768.*
2. *Авдеев Л.З., Быков А.Б. и др. Письма в ЖЭТФ, 1987, 46, 196.*

Институт кристаллографии  
Академии наук СССР

Поступила в редакцию  
25 ноября 1987 г.